

I-109 複葉床断面に作用する空気力

東京大学 正。田中 宏
三井建設 尾形 宏文

1. まえがき

本報告は、長大橋梁において用いられる二階床版構造を二重平板の形に理想化し、その耐風安定性を検討するために作用空気力の測定を行なったものである。二重平板に作用する空気力は、上下両板相互の空気力学干渉によって単純板の場合とはその様相を異にする。複葉翼の定常揚力特性は既に航空工学者によて理論的に検討されてゐるが、非定常解析の例は殆んど見当らないのである。

2. 複葉翼の定常揚力理論

複葉翼の定常揚力計算は守屋¹⁾、Lagally²⁾、谷³⁾、友近⁴⁾ら多くの研究者によつてなされて居り、図-1のようない重平板断面に作用する揚力は次式で与えられる。

$$L = \frac{1}{2} \rho V^2 (2b) \cdot 2\pi \delta (1+\alpha^2) \sin \alpha \left[\sqrt{(1-t_a^2)(t_a^2-k^2)} + \sqrt{(1-t_c^2)(t_c^2-k^2)} \right] / (t_a+t_c) \quad (1)$$

ただし定数 δ 、 α 、 k 、 t_a 、 t_c は以下の諸式より決定する。

$$t^2 = \{2\lambda^2 + \alpha^2(1+k^2) \pm \alpha\sqrt{\alpha^2(1-k^2)^2 + 4(1-\lambda^2)(\lambda^2-k^2)}\} / 2(1+\alpha^2)$$

$$h/b\delta = \pi/2k' , \quad E' = \lambda k'$$

$$Z(u_a, k') + Z(u_b, k') + a(t_c - t_a) = 2/\delta$$

$$Z(u_c, k') - Z(u_b, k') + a(t_c + t_a) = 0$$

ここで K' 、 E' はオイラー種及びオイラー種完全積分（補母数 $k' = \sqrt{1-t^2}$ ）

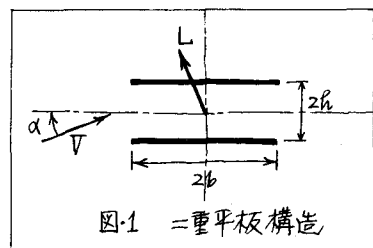


図-1 二重平板構造

$Z(u, k')$ は Jacobi の Zeta 関数、 u は Jacobi の sn 関数における $\arg z$ で $\text{sn}(u, k') = \sqrt{1-t^2}/k'$ である。単独平板に対する揚力は $L = \frac{1}{2} \rho V^2 (2b) \cdot 2\pi \delta \sin \alpha$ であるから空気力学干渉の程度を示す係数は次式で定義される。

$$f_L = \frac{\text{複葉翼の揚力}}{\text{2枚の単葉翼の揚力}} = \frac{8(1+\alpha^2)\{\sqrt{(1-t_a^2)(t_a^2-k^2)} + \sqrt{(1-t_c^2)(t_c^2-k^2)}\}}{2(t_a+t_c)} \quad (2)$$

3. 定常空気力測定

二重平板模型による定常空気力測定実験を以下のように行なった。風洞内実験風速は約 20 m/秒、測定には三分力天秤を用いていた。模型は強長 $2b = 14$ cm、幅 $l = 66$ cm の平板正向隔比 $h/b = 1.15$ の板塊ねじ式もので板厚 $t = 1.0$ cm、前後縁は角を落して鋭く仕上げてある。平板間隔比は $h/b = 0.4 \sim 1.2$ の数種類に変えた。

揚力測定値を図-2 に示す。抗力の変化は殆んど見られなかつたので結果を省略する。揚力の測定値より空力干渉係数 f_L を算出し、式(2)の理論値と比較したもののが図-3 である。間隔比 h/b の増大と共に空力干渉は小さくなり揚力は単独翼の 2 倍に近づくが、失速角は一旦増大して後 $h/b = 0.6 \sim 0.7$ 附近で極大となるよう見える。

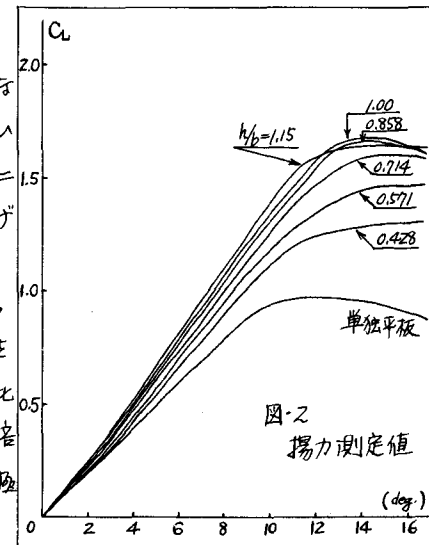


図-2 揚力測定値

1) 守屋富次郎、東大工学部紀要、17、1928.

2) V. Lagally, M., ZAMM. (9)4, 1929.

3) 谷一郎、機械学会誌、35、1932.

4) 友近晋、航空研究所彙報、95、1932.

4. 非定常空気力

振動複翼における非定常空気力の干渉問題を扱った例は極めて少ないので、最近白石⁵⁾は準定常(quasi-steady)理論によって、模型の変位速度を考慮した相対迎角 α 概念に複翼における変位特性をあらわす非線型項を導入した次式を与えた。

$$\begin{aligned} L &= -\frac{1}{2} \rho V^2 (2b) \cdot \frac{\partial C}{\partial \alpha} \left(\varphi + \frac{i}{b} + \frac{1-2K\varphi}{2} \frac{b\dot{\varphi}}{V} \right) \\ M &= \frac{1}{2} \rho V^2 (2b) \cdot \left[\frac{\partial C}{\partial \alpha} \left(\varphi + \frac{i}{b} + \frac{1-2K\varphi}{2} \frac{b\dot{\varphi}}{V} \right) - \frac{\pi b}{V} \right] \end{aligned} \quad (3)$$

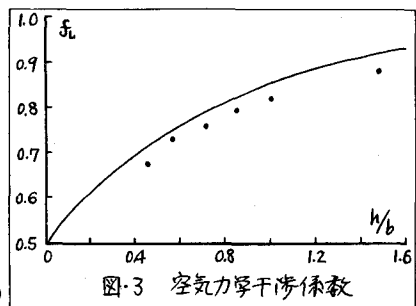


図.3 空気力干渉係数

ここで $K = h/b$ である。 (3) 式によれば、複翼の非線型特性は角速度に伴う揚力および空力モーメント項に影響を与えていることがわかるが、その結果は板間隔が増大する ($K \rightarrow \infty$) につれて大きくなるという点でこの適用に限界があるように思われる。この他に複翼の非定常空気力理論と実験は見当らないが、無限翼列に関しては、強制振動法を用いて上下振動時の非定常流体力を求めて谷田ら⁶⁾の実験と振幅振動の場合の非定常力を求めて花村ら⁷⁾の理論と実験が知られている。

ここでは前述と同様の二重平板模型を用いて $h/b = 0.50, 0.75, 1.00$ の 3 ケースについて強制振動法により非定常空気力を測定した。空気力は

$$\begin{aligned} L &= \pi \rho b^3 \omega^2 [(L_{QR} + iL_{QI}) h/b + (L_{PR} + iL_{PI}) \varphi] \\ M &= \pi \rho b^5 \omega^2 [(M_{QR} + iM_{QE}) h/b + (M_{PR} + iM_{PI}) \varphi] \end{aligned} \quad (4)$$

と表示し、無次元空気力係数を換算振動数 $k = \omega b / V$ の関数であらわす。

図.4 に各断面に対する実験値を示す。理論値は単独平板に対する Theodorsen の理論値⁸⁾である。
 $h/b = 1.00, 0.75$ に対する値が単独平板の場合に対する $h/b = 0.50$ とは空力干渉の影響が見られる。

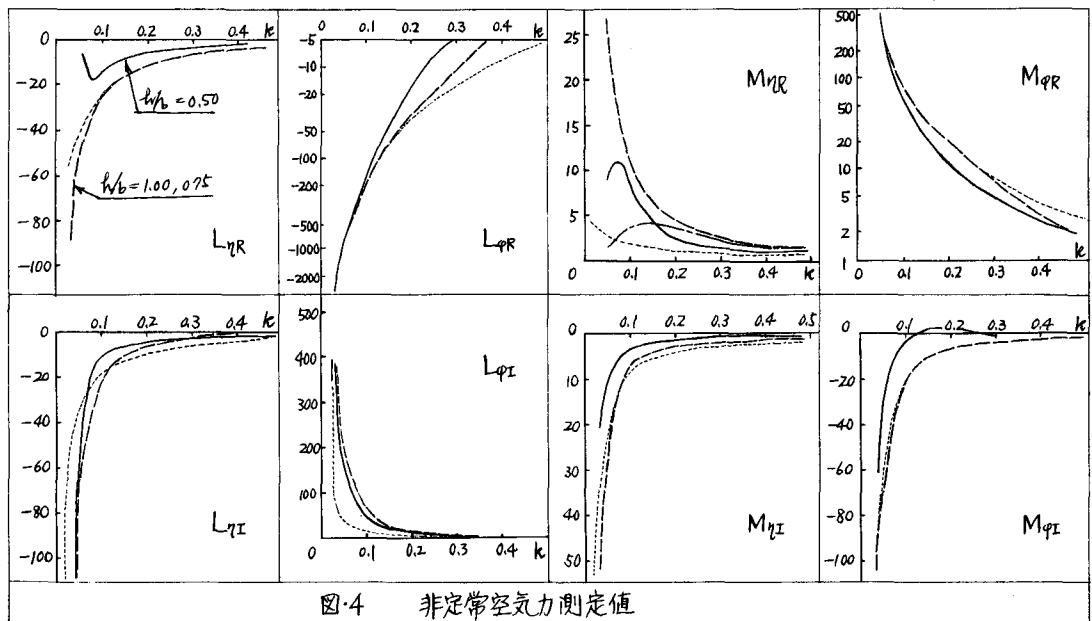


図.4 非定常空気力測定値

5) 白石成人, 土木学会論文報告集, 186, 1971.

6) 谷田邦連他, 機械学会論文集 (29) 198, 1963.

7) 花村庸治・田中英穂, 機械学会論文集 (32) 244, 1966.

8) Theodorsen, T., NACA TR. 496, 1935.